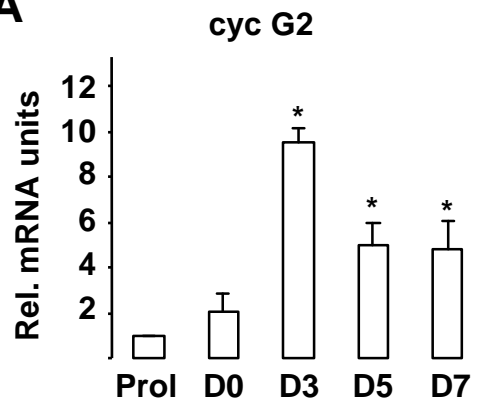
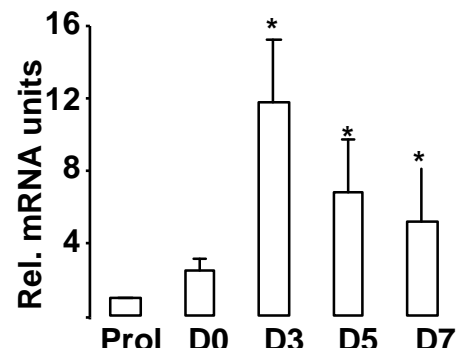
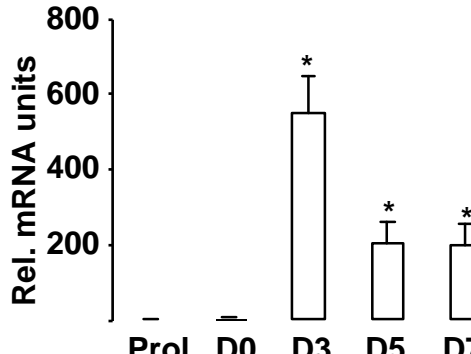
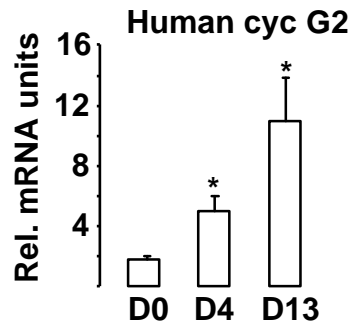
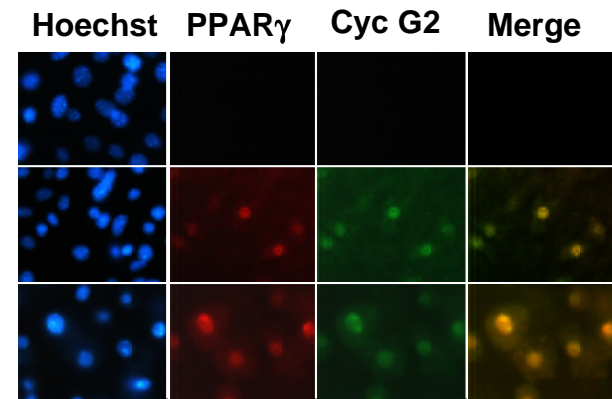
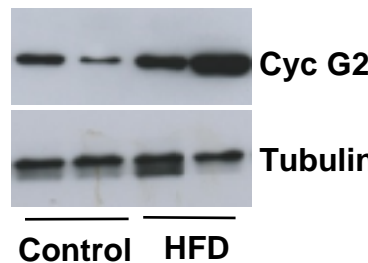
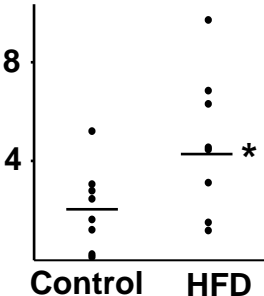
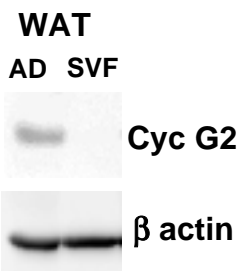
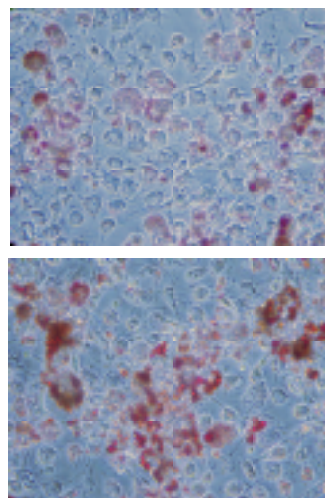
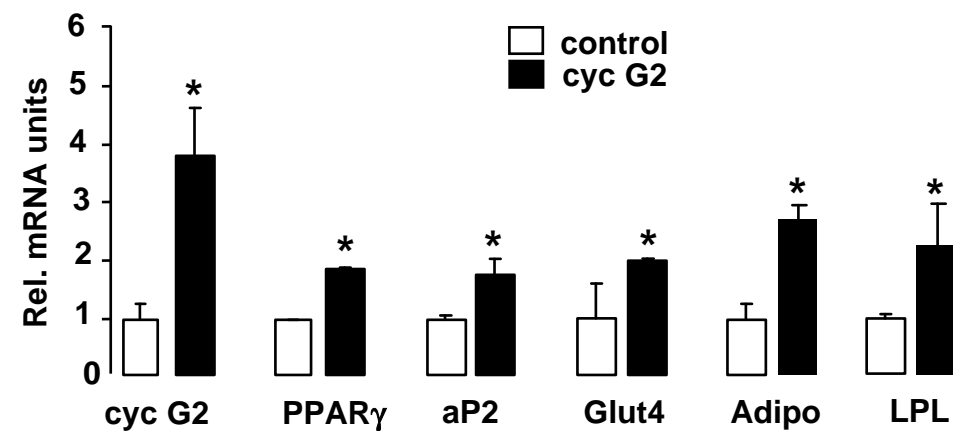
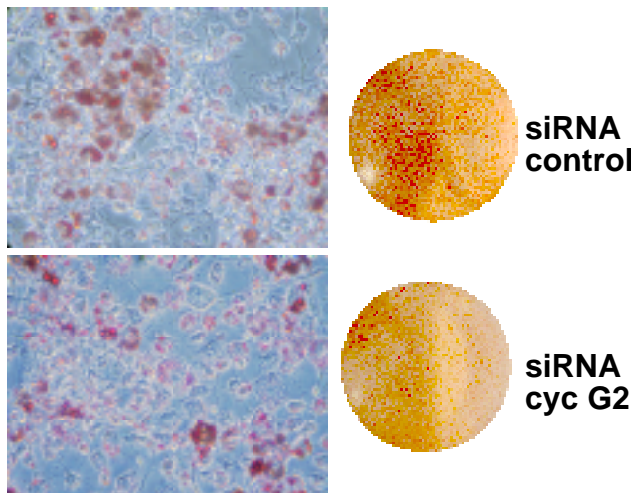
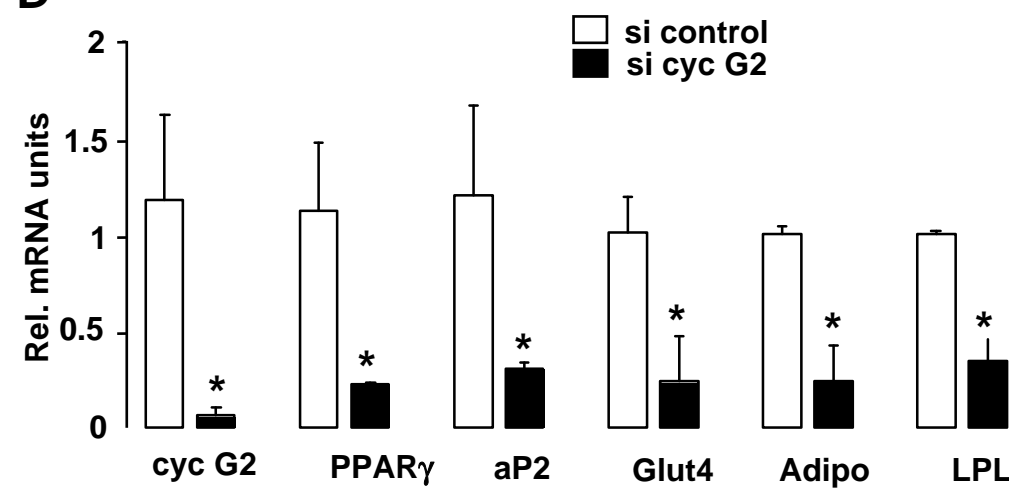
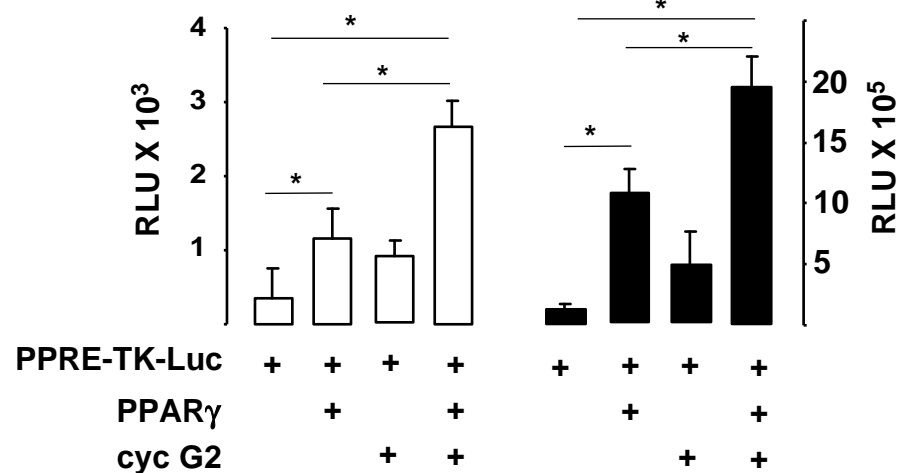
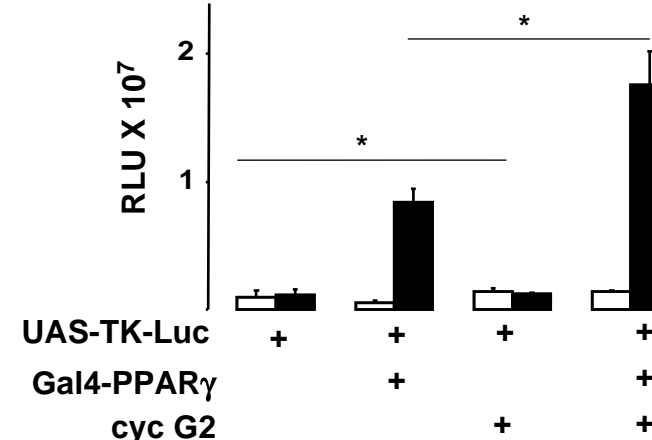
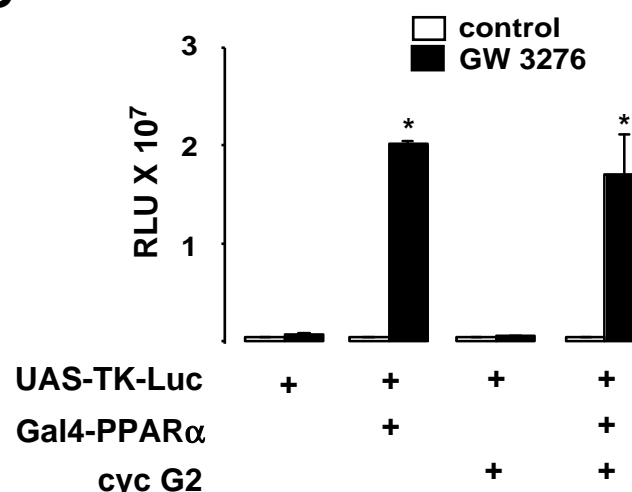
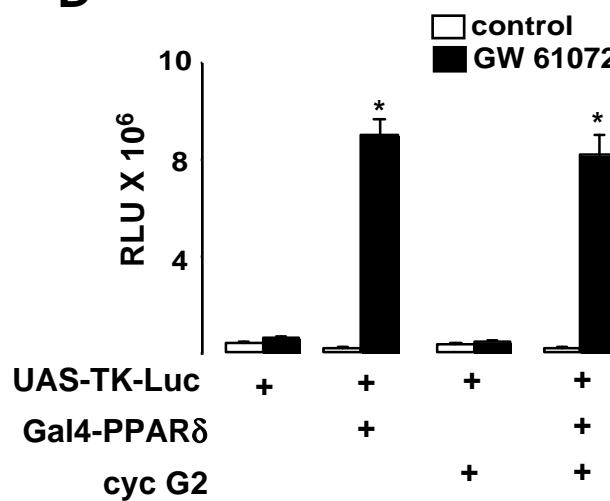
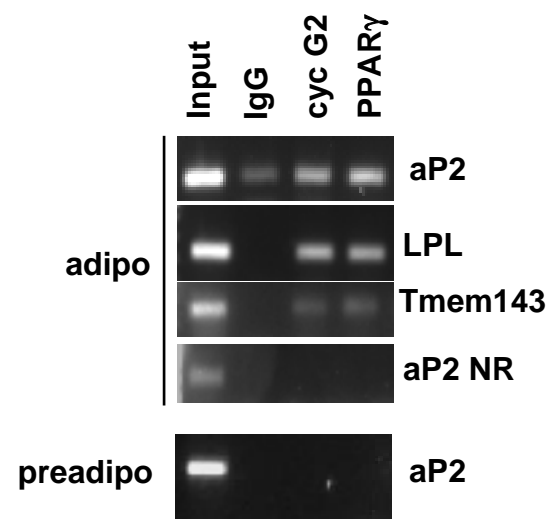
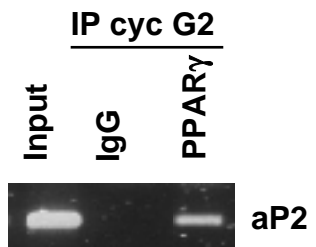


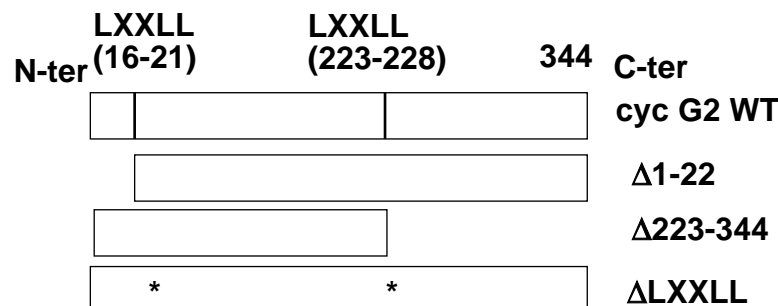
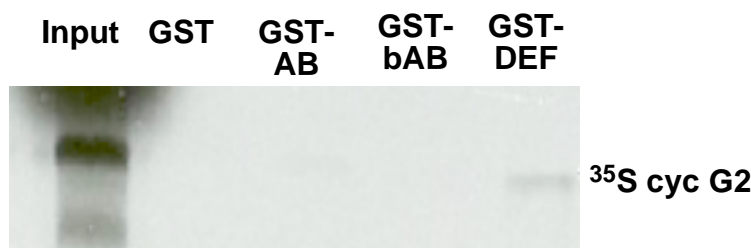
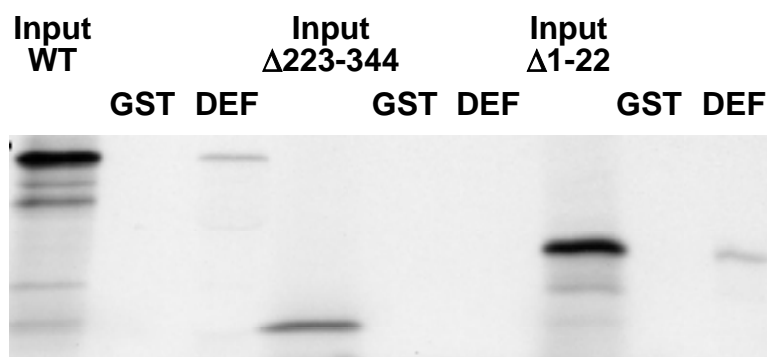
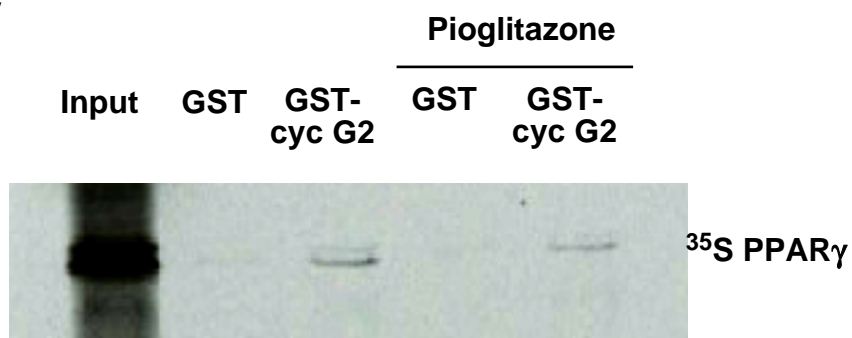
A**PPAR γ** **aP2**

Aguilar et al. Figure 1

B**C****D****E****F****G**

A**B****C****D**

A**B****C****D****E****F**

A**D****B** N-ter C-ter**E****C****F**